

## SCHOTTKY LOGISCHE INTEGRIERTE SCHALTKREISE TTL

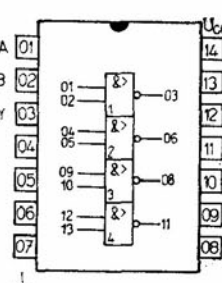
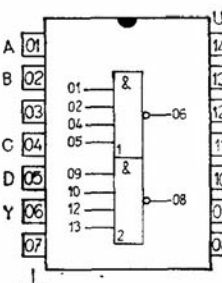
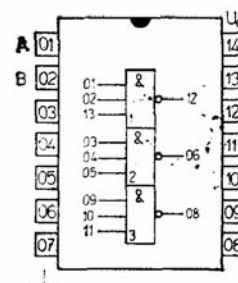
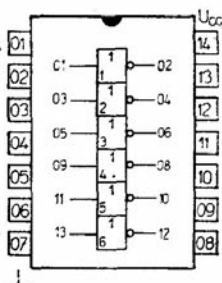
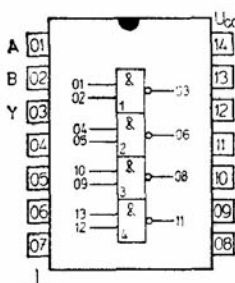
Type Typ		Feature	Art	Logical function Log. Funktion	Outlines Abmessungen	
MH74S00	MH84S00	MH54S00	Quadruple 2 - input positive gate NAND	Vier NAND - Gatter mit je zwei Eingängen	$Y = \overline{AB}$	IO 13
MH74S03	MH84S03	MH54S03	Quadruple 2 - input positive gate NAND with open collector outputs	Vier NAND - Gatter mit je zwei Eingängen und offenem Kollektor	$Y = \overline{AB}$	IO 13
MH74S04	MH84S04	MH54S04	Hex inverters	Sechsfach Inverter	$Y = \overline{A}$	IO 13
MH74S10	MH84S10	MH54S10	Triple 3 - input positive gate NAND	Drei NAND-Gatter mit je drei Eingängen	$Y = \overline{ABC}$	IO 13
MH74S20	MH84S20	MH54S20	Dual 4 - input positive gate NAND	Zwei NAND - Gatter mit je vier Eingängen	$Y = \overline{ABCD}$	IO 13
MH7437	MH8437	MH5437	Quadruple 2 - input positive NAND buffer	Vier NAND - Leistungs-gatter mit je zwei Eingängen	$Y = \overline{AB}$	IO 13
MH7438	MH8438	MH5438	Quadruple 2 - input positive NAND buffer with open collector outputs	Vier NAND - Leistungs-gatter mit je zwei Eingängen und offenem Kollektor	$Y = \overline{AB}$	IO 13
MH74S40	MH84S40	MH54S40	Dual 4 - input positive NAND buffer	Zwei NAND-Leistungs-gatter mit je vier Eingängen	$Y = \overline{ABCD}$	IO 13
MH7451	MH8451	MH5451	Dual positive AND-OR-INVERT gate	Zwei positive AND-OR-INVERT Gatter	$Y = \overline{AB + CD}$	IO 13
MH74S64	MH84S64	MH54S64	4-2-3-2 - input positive AND-OR-INVERT gate	AND-NOR-Gatter mit 4, 2, 3 und 2 Eingängen	$Y = \overline{ABCD + EF + GH + JK}$	IO 13
MH74S74	MH84S74	MH54S74	Dual D-type edge-triggered Flip - Flop	Zwei D-Flipflop	See truth table Siehe log. Verhalten	IO 13
MH74S112	MH84S112	MH54S112	Retriggerable mono-stable J-K multivibrators with clear and preset	Zwei negativ flankenge-triggierte JK-Flipflops mit Preset- und Clear - Eingang		IO 14

For the improvement of the dynamic feature are used at all types of integrated circuits of MH74S.. series a Schottky desaturation diodes. For the raising of reliability are used at all inputs a clamping diodes.

Für die Verbesserung von dynamischen Eigenschaften sind zu benutzen bei allen Typen von integrierten Schaltkreisen die Schottky-Desaturation-Dioden. Für die Erhöhung der Zuverlässigkeit sind alle Eingänge mit Klemmdiode beschaffen.

MAXIMUM RATINGS • GRENZDATEN			MH74S	MH84S	MH54S		
Supply voltage	Betriebsspannung	$U_{CC}$	max	+7	+7	+7	V
Input voltage	Eingangsspannung	$U_I$	min - max	-0,5...+5,5	-0,5...+5,5	-0,5...+5,5	V
Output voltage	Ausgangsspannung 1)	$U_{OH}$	max	+7	+7	+7	V
Output current	Ausgangsstrom 1)	$I_{OL}$	max	+2	+2	+2	mA
Voltage between emitters	Spannungen zwischen Emittoren	$U_{EE}$	max	+5,5	+5,5	$\pm 5,5$	V
Operating temperature range	Betriebstemperatur	$\vartheta_a$	max	0...+70	-25...+85	-55...+125	°C
Storage temperature		$\vartheta_{stg}$	max	-55...+155	-55...+155	-55...+155	°C

1) Valid only for MH..S03, ..S38 • Gültig nur für MH..S03, ..S38



MH..S00, ..S03

MH..S04

MH..S10

MH..S20

MH..S37, ..S38

**RECOMMENDED WORKING CONDITIONS • EMPFOHLENE BETRIEBSWERTE**

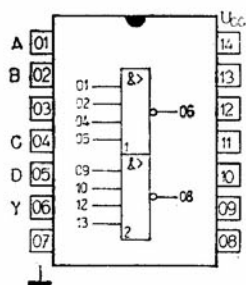
		MH74S..	MH84S..	MH54S..	
Recommended working voltage	Empfohlene Betriebsspannung	$U_{CC}$	4,75 ... 5,25	4,75 ... 5,25	4,5 ... 5,5 V
Input clamp voltage	Eingangsklemmspannung	$-U_D$	< 1,2	< 1,2	- V
$U_{CC} = 4,75 \text{ V}, U_I = -18 \text{ mA}$		$-U_D$	-	-	< 1,2 V
$U_{CC} = 4,5 \text{ V}, U_I = -18 \text{ mA}$					
Fan-out from each gate	Ausgangsfächer pro Gatter	$N_L$	$N_H$		
MH..S00, ..S10, ..S20		max. 10	max. 20		
MH..S03		max. 15			
MH..S40		max. 10	max. 20		
MH..S74		max. 10	max. 20		

**DYNAMIC DATA • DYNAMISCHE KENNDATEN**

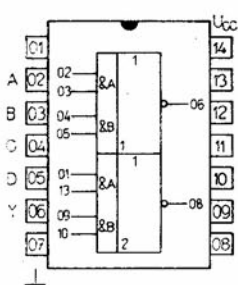
Propagation delay time	Signal-Laufzeit	$t_{PLH}$	$t_{PHL}$	
$U_{CC} = 5 \text{ V}, U_{IH} = 2,7 \text{ V}, \theta_a = 25^\circ\text{C}, C_L = 15 \text{ pF}, R_L = 280 \Omega$				
MH..S00, ..S04, ..S10, ..S20		2 ... 4,5	2 ... 5,0	ns
MH..S03		2 ... 7,5	2 ... 7,0	ns
MH..S40		2 ... 6,5	2 ... 6,5	ns
$U_{CC} = 5 \text{ V}, U_{IH} = 2,7 \text{ V}, \theta_a = 25^\circ\text{C}, C_L = 50 \text{ pF}, R_L = 93 \Omega$				
MH..S64		2 ... 5,5	2 ... 5,5	ns

**STATIC DATA • STATISCHE KENNDATEN**

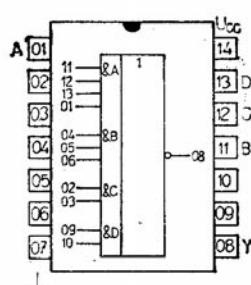
Input voltage — level H	Eingangsspannung — H-Zustand	$U_{IH}$	> 2	V
Input voltage — level L	Eingangsspannung — L-Zustand	$U_{IL}$	< 0,8	V
Output voltage — level H	Ausgangsspannung — H-Zustand	$U_{OH}$	> 2,7	V
MH74S.., MH84S..		$U_{OH}$	> 2,5	V
MH54S..		$U_{OL}$	< 0,5	V
Output voltage — level L	Ausgangsspannung — L-Zustand	$U_{OL}$	40 ... 100	mA
Short-circuit output current	Kurzschlussausgangsstrom	$-I_{OS}$	50 ... 225	mA
MH..S37, ..S40		$-I_{OS}$		



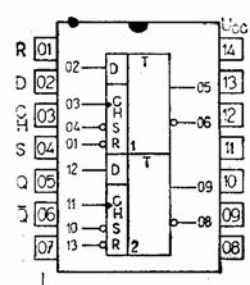
MH..S40



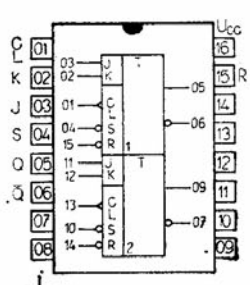
MH..S51



MH..S64



MH..S74



MH..S112

MH..S00 MH..S20 MH..S51  
 MH..S03 MH..S37  
 MH..S04 MH..S38  
 MH..S10 MH..S40

SCHOTTKY-CLAMPED TTL LOGIC INTEGRATED CIRCUITS  
 SCHOTTKY LOGISCHE INTEGRIERTE SCHALTKREISE TTL

CHARACTERISTIC DATA:		KENNDATEN:			
Input voltage - H level U <sub>CC</sub> = 4,75 V; MH54S: U <sub>CC</sub> = 4,5 V	Eingangsspannung - H-Zustand	MH74S.. : $\vartheta_a = 0^\circ\text{C}, +25^\circ\text{C}, +70^\circ\text{C}$ MH84S.. : $\vartheta_a = -25^\circ\text{C}, +25^\circ\text{C}, +85^\circ\text{C}$ MH54S.. : $\vartheta_a = -55^\circ\text{C}, +25^\circ\text{C}, +125^\circ\text{C}$	U <sub>IH</sub>	> 2,0	V
Input voltage - L level U <sub>CC</sub> = 4,75 V; MH54S: U <sub>CC</sub> = 4,5 V	Eingangsspannung - L-Zustand		U <sub>IL</sub>	< 0,8	V
Output voltage - H level U <sub>CC</sub> = 4,75 V; MH54S: U <sub>CC</sub> = 4,5 V; U <sub>IL</sub> = 0,8 V, U <sub>IH</sub> = 4,5 V I <sub>OH</sub> = -1 mA (beside - ausser MH..S03, .. S38)	Ausgangsspannung - H-Zustand	MH54S: MH..S37 MH54S37, .. S40	U <sub>OH</sub> U <sub>OH</sub> U <sub>OH</sub> U <sub>OH</sub>	> 2,7 > 2,5 > 2,7 > 2,5	V V V V
Output voltage - L level U <sub>CC</sub> = 4,75 V; MH54S: U <sub>CC</sub> = 4,5 V; U <sub>IH</sub> = 2 V I <sub>OL</sub> = 20 mA I <sub>OL</sub> = 60 mA MH54S37, .. S38, .. S40	Ausgangsspannung - L-Zustand		U <sub>OL</sub> U <sub>OL</sub>	< 0,5 < 0,5	V V
Output current - H level U <sub>CC</sub> = 4,75 V; MH54S: U <sub>CC</sub> = 4,5 V; U <sub>IL</sub> = 0,8 V U <sub>OH</sub> = 5,5 V, U <sub>IH</sub> = 4,5 V (only - nur MH..S03, .. S38)	Ausgangsstrom - H-Zustand		I <sub>OH</sub>	< 250	$\mu\text{A}$
Input current - H level each input U <sub>CC</sub> = 5,25 V; MH54S: U <sub>CC</sub> = 5,5 V; U <sub>IH</sub> = 5,5 V, U <sub>IL</sub> = 0 V U <sub>CC</sub> = 5,25 V; MH54S: U <sub>CC</sub> = 5,5 V; U <sub>IH</sub> = 2,7 V, U <sub>IL</sub> = 0 V U <sub>CC</sub> = 5,25 V; MH54S: U <sub>CC</sub> = 5,5 V; U <sub>IH</sub> = 2,7 V, U <sub>IL</sub> = 0 V MH54S37, .. S38, .. S40	Eingangsstrom - H-Zustand pro Eingang		I <sub>IH</sub> I <sub>IH</sub> I <sub>IH</sub>	< 1 < 50 < 100	$\text{mA}$ $\mu\text{A}$ $\mu\text{A}$
Input current - L level U <sub>CC</sub> = 5,25 V; MH54S: U <sub>CC</sub> = 5,5 V; U <sub>IL</sub> = 0,5 V, U <sub>IH</sub> = 4,5 V U <sub>CC</sub> = 5,25 V; MH54S: U <sub>CC</sub> = 5,5 V; U <sub>IL</sub> = 0,5 V, U <sub>IH</sub> = 4,5 V MH54S37, .. S38, .. S40	Eingangsstrom - L-Zustand		-I <sub>IL</sub> -I <sub>IL</sub>	< 2 < 4	$\text{mA}$ $\text{mA}$
Short-circuit output current U <sub>CC</sub> = 5,25 V; MH54S: U <sub>CC</sub> = 5,5 V, U <sub>IL</sub> = 0 V (beside - ausser MH..S03, .. S38) MH54S37, .. S40	Kurzschlussausgangsstrom		-I <sub>OS</sub> -I <sub>OS</sub>	40 . . . 100 50 . . . 225	$\text{mA}$ $\text{mA}$
Supply current - H level U <sub>CC</sub> = 5,25 V; MH54S: U <sub>CC</sub> = 5,5 V, U <sub>IL</sub> = 0 V	Stromaufnahme - H-Zustand	MH..S00 MH..S03 MH..S04 MH..S10 MH..S20 MH..S37, .. S38 MH..S40 MH..S51	I <sub>CHH</sub> I <sub>CHH</sub> I <sub>CHH</sub> I <sub>CHH</sub> I <sub>CHH</sub> I <sub>CHH</sub> I <sub>CHH</sub> I <sub>CHH</sub>	< 16 < 13,2 < 24 < 12 < 8 < 36 < 18 < 17,8	$\text{mA}$ $\text{mA}$ $\text{mA}$ $\text{mA}$ $\text{mA}$ $\text{mA}$ $\text{mA}$ $\text{mA}$
Supply current - L level U <sub>CC</sub> = 5,25 V; MH54S: U <sub>CC</sub> = 5,5 V; U <sub>I</sub> = 4,5 V	Stromaufnahme - L-Zustand	MH..S00, .. S03 MH..S04 MH..S10 MH..S20 MH..S37, .. S38 MH..S40 MH..S51	I <sub>CLL</sub> I <sub>CLL</sub> I <sub>CLL</sub> I <sub>CLL</sub> I <sub>CLL</sub> I <sub>CLL</sub> I <sub>CLL</sub>	< 36 < 54 < 27 < 18 < 80 < 44 < 22	$\text{mA}$ $\text{mA}$ $\text{mA}$ $\text{mA}$ $\text{mA}$ $\text{mA}$ $\text{mA}$
DYNAMIC DATA:		DYNAMISCHE KENNDATEN:			
$U_{CC} = 5 \text{ V}, \vartheta_a = 25^\circ\text{C}, C_L = 15 \text{ pF}, R_L = 280 \Omega, U_{IH} = 2,7 \text{ V}$					
Propagation delay time MH..S00, S04, S10, .. S20 MH..S00, S04, S10, .. S20 MH..S03 MH..S03	Signal Laufzeit		t <sub>PLH</sub> t <sub>PHL</sub> t <sub>PLH</sub> t <sub>PHL</sub>	2 . . . 4,5 2 . . . 5,0 2 . . . 7,5 2 . . . 7,0	ns ns ns ns
$U_{CC} = 5 \text{ V}, \vartheta_a = 25^\circ\text{C}, C_L = 50 \text{ pF}, R_L = 93 \Omega, U_{IH} = 2,7 \text{ V}$			t <sub>PLH</sub> t <sub>PHL</sub> t <sub>PLH</sub> t <sub>PHL</sub>	2 . . . 5,5 2 . . . 5,5 2 . . . 6,5 2 . . . 6,5	ns ns ns ns
$U_{CC} = 5 \text{ V}, \vartheta_a = 25^\circ\text{C}, C_L = 15 \text{ pF}, R_L = 93 \Omega, U_{IH} = 2,7 \text{ V}$			t <sub>PLH</sub> t <sub>PHL</sub> t <sub>PLH</sub> t <sub>PHL</sub>	< 6,5 < 6,5 < 10 < 10	ns ns ns ns

## 4 - 2 - 3 - 2 INPUT POSITIVE AND-OR-INVERT GATE • AND-NOR-GATTER MIT 4, 2, 3 UND 2 EINGÄNGEN

CHARACTERISTIC DATA:	KENNDATEN:	MH74S64: $\vartheta_a = 0^\circ\text{C}, +25^\circ\text{C}, +70^\circ\text{C}$	
Input voltage — level H $U_{CC} = 4,75 \text{ V}; \text{ MH54S: } U_{CC} = 4,5 \text{ V}$	Eingangsspannung — H-Zustand	$U_{IH}$	> 2,0 V
Input voltage — level L $U_{CC} = 4,75 \text{ V}; \text{ MH54S: } U_{CC} = 4,5 \text{ V}$	Eingangsspannung — L-Zustand	$U_{IL}$	< 0,8 V
Output voltage — level H $U_{CC} = 4,75 \text{ V}; \text{ MH54S: } U_{CC} = 4,5 \text{ V}$ $U_{IH} = 4,5 \text{ V}, U_{IL} = 0,8 \text{ V}, I_{OH} = -1 \text{ mA}$	Ausgangsspannung — H-Zustand MH74S, MH84S MH54S	$U_{OH}$ $U_{OH}$	> 2,7 V > 2,5 V
Output voltage — level L $U_{CC} = 4,75 \text{ V}; \text{ MH54S: } U_{CC} = 4,5 \text{ V}$ $U_{IH} = 2,0 \text{ V}, I_{OL} = 20 \text{ mA}$	Ausgangsspannung — L-Zustand MH74S, MH84S MH54S	$U_{OL}$ $U_{OL}$	< 0,5 V < 0,5 V
Input current — level H $U_{CC} = 5,25 \text{ V}; \text{ MH54S: } U_{CC} = 5,5 \text{ V}$ $U_{IH} = 5,5 \text{ V}, U_{IL} = 0 \text{ V}$ $U_{IH} = 2,7 \text{ V}, U_{IL} = 0 \text{ V}$	Eingangsstrom — H-Zustand	$I_{IH}$ $I_{IH}$	< 1 $\mu\text{A}$ < 50 $\mu\text{A}$
Input current — level L $U_{CC} = 5,25 \text{ V}; \text{ MH54S: } U_{CC} = 5,5 \text{ V}$ $U_{IH} = 4,5 \text{ V}, U_{IL} = 0,5 \text{ V}$	Eingangsstrom — L-Zustand	$-I_{IL}$	< 2 mA
Short-circuit output current $U_{CC} = 5,25 \text{ V}; \text{ MH54S: } U_{CC} = 5,5 \text{ V}$ $U_{IL} = 0 \text{ V}$	Kurzschlussausgangsstrom	$-I_{OS}$	40 ... 100 mA
Supply current — level H $U_{CC} = 5,25 \text{ V}; \text{ MH54S: } U_{CC} = 5,5 \text{ V}$ $U_{IL} = 0 \text{ V}$	Stromaufnahme — H-Zustand	$I_{CCH}$	< 12,5 mA
Supply current — level L $U_{CC} = 5,25 \text{ V}; \text{ MH54S: } U_{CC} = 5,5 \text{ V}$ $U_{IH} = 4,5 \text{ V}, U_{IL} = 0 \text{ V}$	Stromaufnahme — L-Zustand	$I_{CCL}$	< 16 mA
DYNAMIC DATA:	DYNAMISCHE KENNDATEN:		
$U_{CC} = 5 \text{ V}, \vartheta_a = 25^\circ\text{C}, C_L = 15 \text{ pF}, R_L = 280 \Omega$			
Propagation delay time on level H on level L	Signal Laufzeit nach H-Zustand nach L-Zustand	$t_{PLH}$ $t_{PHL}$	2 ... 5,5 ns 2 ... 5,5 ns

CHARACTERISTIC DATA:		KENNDATEN:				
Input voltage — H level $U_{CC} = 4,75 \text{ V}$ ; MH54S: $U_{CC} = 4,5 \text{ V}$	Eingangsspannung — H-Zustand	MH74S74: $\vartheta_a = 0^\circ\text{C}, +25^\circ\text{C}, +70^\circ\text{C}$	$U_{IH}$	$> 2,0$	V	
Input voltage — L level $U_{CC} = 4,75 \text{ V}$ ; MH54S: $U_{CC} = 4,5 \text{ V}$	Eingangsspannung — L-Zustand	MH84S74: $\vartheta_a = -25^\circ\text{C}, +25^\circ\text{C}, +85^\circ\text{C}$	$U_{IL}$	$< 0,8$	V	
Output voltage — H level $U_{CC} = 4,75 \text{ V}$ ; MH54S: $U_{CC} = 4,5 \text{ V}$ ; $U_{IL} = 0,8 \text{ V}$ $I_{OH} = -1 \text{ mA}$ , $U_{IH} = 2 \text{ V}$	Ausgangsspannung — H-Zustand MH74S74, MH84S74 MH54S74	MH54S74: $\vartheta_a = -55^\circ\text{C}, +25^\circ\text{C}, +125^\circ\text{C}$	$U_{OH}$ $U_{OH}$	$> 2,7$ $> 2,5$	V V	
Output voltage — L level $U_{CC} = 4,75 \text{ V}$ ; MH54S: $U_{CC} = 4,5 \text{ V}$ ; $U_{IH} = 2 \text{ V}$ $I_{OL} = 20 \text{ mA}$ , $U_{IL} = 0,8 \text{ V}$	Ausgangsspannung — L-Zustand		$U_{OL}$	$< 0,5$	V	
Input current for max. input voltage each input $U_{CC} = 5,25 \text{ V}$ ; MH54S: $U_{CC} = 5,5 \text{ V}$ ; $U_{IH} = 5,5 \text{ V}$ , $U_{IL} = 0 \text{ V}$ , $U_I = 4,5 \text{ V}$	Eingangsstrom für max. Eingangsspannung pro Eingang		$I_{IH}$	$< 1$	mA	
Input current — H level $U_{CC} = 5,25 \text{ V}$ ; MH54S: $U_{CC} = 5,5 \text{ V}$ ; $U_{IH} = 2,7 \text{ V}$ , $U_{IL} = 0 \text{ V}$ , $U_I = 4,5 \text{ V}$	Eingangsstrom — H-Zustand		$I_{IH}$	$< 50$	$\mu\text{A}$	
input D input CLEAR input PRESET input CLOCK	Eingang D Rückstelleingang Dateneingang Takteingang		$I_{IH}$ $I_{IH}$ $I_{IH}$ $I_{IH}$	$< 150$ $< 100$ $< 100$	$\mu\text{A}$ $\mu\text{A}$ $\mu\text{A}$	
Input current — L level $U_{CC} = 5,25 \text{ V}$ ; MH54S: $U_{CC} = 5,5 \text{ V}$ ; $U_{IL} = 0,5 \text{ V}$ , $U_{IH} = 4,5 \text{ V}$ , $U_I = 0 \text{ V}$	Eingangsstrom — L-Zustand		$-I_L$	$< 2$	mA	
input D input CLEAR input PRESET input CLOCK	Eingang D Rückstelleingang Dateneingang Takteingang		$-I_L$ $-I_L$ $-I_L$ $-I_L$	$< 6$ $< 4$ $< 4$	mA	
Short-circuit output current $U_{CC} = 5,25 \text{ V}$ ; MH54S: $U_{CC} = 5,5 \text{ V}$ ; $U_{IL} = 0 \text{ V}$ , $U_{IH} = 4,5 \text{ V}$	Kurzschlussausgangsstrom		$-I_{OS}$	$40 \dots 100$	mA	
Supply current $U_{CC} = 5,25 \text{ V}$ ; MH54S: $U_{CC} = 5,5 \text{ V}$ ; $U_{IH} = 4,5 \text{ V}$ , $U_{IL} = 0 \text{ V}$	Stromaufnahme		$I_{CC}$	$< 50$	mA	
DYNAMIC DATA:		DYNAMISCHE KENNDATEN:				
$U_{CC} = 5 \text{ V}$ , $\vartheta_a = +25^\circ\text{C}$ , $N = 10$ , $C_L = 15 \text{ pF}$ , $R_L = 280 \Omega$						
Propagation delay time from input PRESET or CLEAR to output Q or $\bar{Q}$	Signal-Laufzeit von Daten- oder Rückstell-Eingang auf Ausgang Q oder $\bar{Q}$		$t_{PLH}$	$< 6$	ns	
from input PRESET or CLEAR to output Q or $\bar{Q}$ clock on H level clock on L level	von Daten- oder Rückstell-Eingang auf Ausgang Q oder $\bar{Q}$ Takteingang auf H-Zustand Takteingang auf L-Zustand		$t_{PHL}$ $t_{PHL}$	$< 13,5$ $< 8$	ns ns	
from input CLOCK to output Q or $\bar{Q}$	von Takteingang auf Ausgang Q oder $\bar{Q}$		$t_{PLH}$ $t_{PHL}$	$< 9$ $< 9$	ns ns	
Maximum clock frequency	Maximale Zählfrequenz		$f_{max}$	$> 75$	MHz	

TRUTH TABLE • LOGISCHES VERHALTEN

INPUTS • EINGANG			OUTPUT AUSGANG	
RESET Daten- eingang	CLEAR Rückstell- eingang	CLOCK Takt- eingang	D	Q $\bar{Q}$
asynchronous mode • Asynchronregime				
L	H	X	X	H      L
H	L	X	X	L      H
L	L	X	X	H*      H*
synchronous mode • Synchronregime				
H	H	↑	H	H      L
H	H	↑	L	L      H

H H level • H-Zustand      L L level • L-Zustand

X high or low level — for function is not conclusive

High- oder Low-Zustand — für Funktion ist nicht entscheidend

↑ change from low to high level • Änderungen von Low- auf High-Zustand

• this state is not steady • Dieser Zustand ist nicht stabil.

DUAL J-K NEGATIVE-EDGE-TRIGGERED FLIP-FLOPS WITH PRESET AND CLEAR •  
ZWEI NEGATIV FLANKENGETRIGGerte J-K FLIPFLOPs MIT PRESET- UND CLEAR-EINGANG

CHARACTERISTIC DATA:	KENNDATEN:	MH74S: $\vartheta_a = 0^\circ\text{C}, +25^\circ\text{C}, +70^\circ\text{C}$	
Input voltage — level H $U_{CC} = 4,75 \text{ V}; \text{ MH54S: } U_{CC} = 4,5 \text{ V}$	Eingangsspannung — H-Zustand	$U_{IH}$	> 2,0 V
Input voltage — level L $U_{CC} = 4,75 \text{ V}; \text{ MH54S: } U_{CC} = 4,5 \text{ V}$	Eingangsspannung — L-Zustand	$U_{IL}$	< 0,8 V
Output voltage — level H $U_{CC} = 4,75 \text{ V}; \text{ MH54S: } U_{CC} = 4,5 \text{ V}$ $U_{IH} = 2 \text{ V}, U_{IL} = 0,8 \text{ V}, I_{OH} = -1 \text{ mA}$	Ausgangsspannung — H-Zustand MH74S, MH84S MH54S	$U_{OH}$ $U_{OH}$	> 2,7 V > 2,5 V
Output voltage — level L $U_{CC} = 4,75 \text{ V}; \text{ MH54S: } U_{CC} = 4,5 \text{ V}$ $U_{IH} = 2 \text{ V}, U_{IL} = 0,8 \text{ V}, I_{OL} = 20 \text{ mA}$	Ausgangsspannung — L-Zustand	$U_{OL}$	< 0,5 V
Input current for max. input voltage $U_{CC} = 5,25 \text{ V}; \text{ MH54S: } U_{CC} = 5,5 \text{ V}$ $U_{IH} = 5,5 \text{ V}, U_{IL} = 0 \text{ V}$	Eingangsstrom für max. Eingangsspannung	$I_{IH}$	< 1 mA
Input current — level H $U_{CC} = 5,25 \text{ V}; \text{ MH54S: } U_{CC} = 5,5 \text{ V}$ $U_{IH} = 2,7 \text{ V}, U_{IL} = 0 \text{ V}, U_I = 4,5 \text{ V}$	Eingangsstrom — H-Zustand	$I_{IH}$	< 50 $\mu\text{A}$
input J, K input CLOCK input CLEAR input PRESET	Eingang J, K Takteingang Rückstelleingang Dateneingang	$I_{IH}$ $I_{IH}$ $I_{IH}$ $I_{IH}$	< 100 $\mu\text{A}$ < 100 $\mu\text{A}$ < 100 $\mu\text{A}$ < 100 $\mu\text{A}$
Input current — level L $U_{CC} = 5,25 \text{ V}; \text{ MH54S: } U_{CC} = 5,5 \text{ V}$ $U_{IH} = 4,5 \text{ V}, U_{IL} = 0,5 \text{ V}$	Eingangsstrom — L-Zustand	$-I_{IL}$	< 1,6 mA
input J, K input CLOCK input CLEAR input PRESET	Eingang J, K Takteingang Rückstelleingang Dateneingang	$-I_{IL}$ $-I_{IL}$ $-I_{IL}$ $-I_{IL}$	< 4 mA < 7 mA < 7 mA
Short-circuit output current $U_{CC} = 5,25 \text{ V}; \text{ MH54S: } U_{CC} = 5,5 \text{ V}$ $U_{IH} = 4,5 \text{ V}, U_{IL} = 0 \text{ V}$	Kurzschlussausgangsstrom	$-I_{OS}$	40...100 mA
Supply current $U_{CC} = 5,25 \text{ V}; \text{ MH54S: } U_{CC} = 5,5 \text{ V}$ $U_{IH} = 4,5 \text{ V}, U_{IL} = 0 \text{ V}$	Stromaufnahme	$I_{CC}$	< 50 mA
DYNAMIC DATA: $U_{CC} = 5 \text{ V}, \vartheta_a = +25^\circ\text{C}, C_L = 15 \text{ pF}, R_L = 280 \Omega$	DYNAMISCHE KENNDATEN:		
Propagation delay time from input PRESET or CLEAR to output Q or $\bar{Q}$ (clock on level H) (clock on level L)	Signal-Laufzeit von Daten- oder Rückstell-Eingang	$t_{PLH}$ $t_{PHL}$ $t_{PHL}$	2...7 ns 2...7 ns 2...7 ns
from input CLOCK to output Q or $\bar{Q}$	nach Ausgang Q oder $\bar{Q}$ (Takteingang in H-Zustand) (Takteingang in L-Zustand) von Takteingang nach Ausgang Q oder $\bar{Q}$	$t_{PLH}$ $t_{PHL}$	2...7 ns 2...7 ns
Maximum clock frequency	Maximale Zählfrequenz	$f_{max}$	> 80 MHz

TRUTH TABLES • LOGISCHES VERHALTEN  
SYNCHRONOUS MODE • SYNCHRON REGIME

INPUTS EINGÄNGE				OUTPUTS AUSGÄNGE	
RESET	CLEAR	J	K	Q	$\bar{Q}$
Daten- Rückstell- Eingang					
H	H	L	L	S	S
H	H	H	L	H	L
H	H	L	H	L	H
H	H	H	H	S	S

- 1) State for jump in negative voltage on input CLOCK  
Der Stand vor negativen Spannungssprung an Takteingang.
- 2) State after jump in negative voltage on input CLOCK  
Der Stand nach Beendigung des negativen Spannungssprunges am Takteingang.

ASYNCHRONOUS MODE • ASYNCHRONREGIME

INPUTS EINGÄNGE					OUTPUTS AUSGÄNGE	
PRESET	CLEAR	J	K	CLOCK	Q	$\bar{Q}$
Daten- Eingang	Rückstell- Eingang			Takt- Eingang		
L	H	X	X	X	H	L
H	L	X	X	X	L	H
L	L	X	X	X	H*	H*

H H-level • H-Zustand  
L L-level • L-Zustand  
X H or L level • H- oder L-Zustand  
S State of output Q after the end of previous jump in negative voltage on input CLOCK.  
Der Stand des Ausgangs Q nach Beendigung des vorhergehenden negativen Spannungssprunges am Takteingang.  
\* This state last only in time, when both asynchronous inputs are in level L.  
Dieser Stand dauert nur in der Zeit, wann beide Asynchroneingänge in L-Zustand sind.